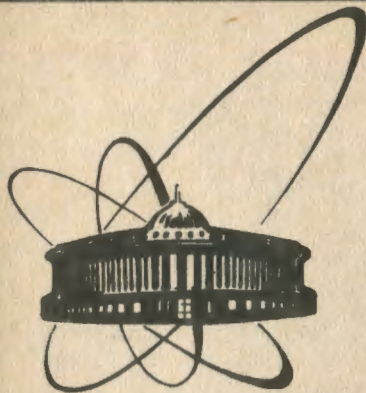


96-34



сообщения  
объединенного  
института  
ядерных  
исследований  
дубна

P13-91-34

А.Н.Андреев, В.А.Горшков, Д.Д.Богданов,  
А.В.Еремин, А.П.Кабаченко, А.Н.Кузнецов,  
Г.М.Тер-Акопьян, В.И.Чепигин

МНОГОДЕТЕКТОРНАЯ СИСТЕМА  
НАБОРА ИНФОРМАЦИИ В ЭКСПЕРИМЕНТАХ  
НА СЕПАРАТОРЕ ВАСИЛИСА

1991

Установка ВАСИЛСА<sup>1/</sup> представляет собой кинематический сепаратор продуктов реакций полного слияния, работающий на пучке тяжелых ионов циклотрона У400 ЛЯР ОИЯИ. Сепарация ядер отдачи от пучка бомбардирующих ионов и других фоновых продуктов осуществляется ахроматической системой, состоящей из трех электростатических дефлекторов. Продукты реакций полного слияния фокусируются триплетом электромагнитных линз в приемное устройство, расположенное в фокальной плоскости сепаратора, на расстоянии 12 метров от мишени. Первый вариант детектирующего устройства сепаратора представлял собой однодетекторный модуль, подробно описанный в работе<sup>2/</sup>. Идентификация нуклидов производилась методом  $\alpha$ - $\alpha$  и "ядро отдачи- $\alpha$ " корреляций<sup>2,3/</sup>. При исследовании ядерных реакций полного слияния в области трансактинидных составных ядер, поперечное сечение образования которых составляет величину 1 мкбн и меньше, а периоды полураспада - от долей микросекунд до нескольких секунд, становится существенной задача повышения надежности выделения корреляций и идентификации нуклидов. С этой целью были разработаны новый детектирующий модуль и электроника, позволяющие значительно расширить возможности для проведения экспериментов на сепараторе ВАСИЛСА.

### 1. ДЕТЕКТИРУЮЩИЙ МОДУЛЬ

Приемное устройство сепаратора представляет собой модуль, включающий в себя два времязролетных детектора вторичных электронов (MCP1 и MCP2) для измерения времени пролета ядер-продуктов реакции и сборку из семи или восьми полупроводниковых детекторов, позволяющих измерять величину энергии ядер отдачи, а также  $\alpha$ -частиц и осколков спонтанного деления, образующихся при распаде имплантированных в детектор ядер. Используются либо поверхностно-барьерные детекторы типа Si(Au) (рис.1а), либо полупроводниковые детекторы, изготовленные методом планарной технологии (рис.1б). Благодаря предварительному отбору и охлаждению во время работы до 265к энергетическое разрешение детекторов

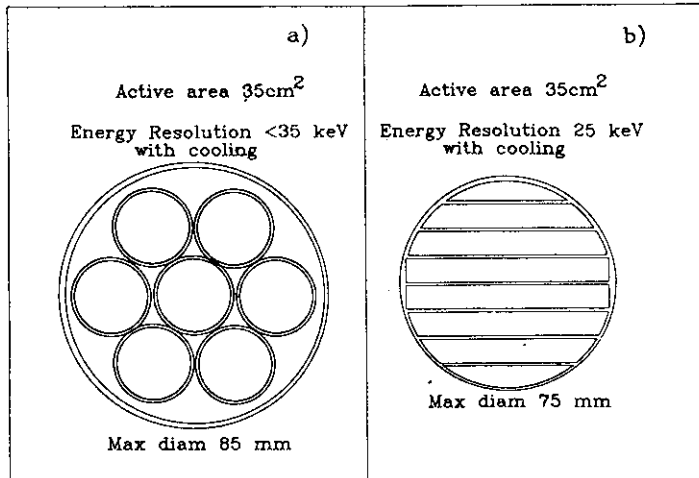


Рис.1. Полупроводниковые детекторы, используемые на сепараторе Василиса.

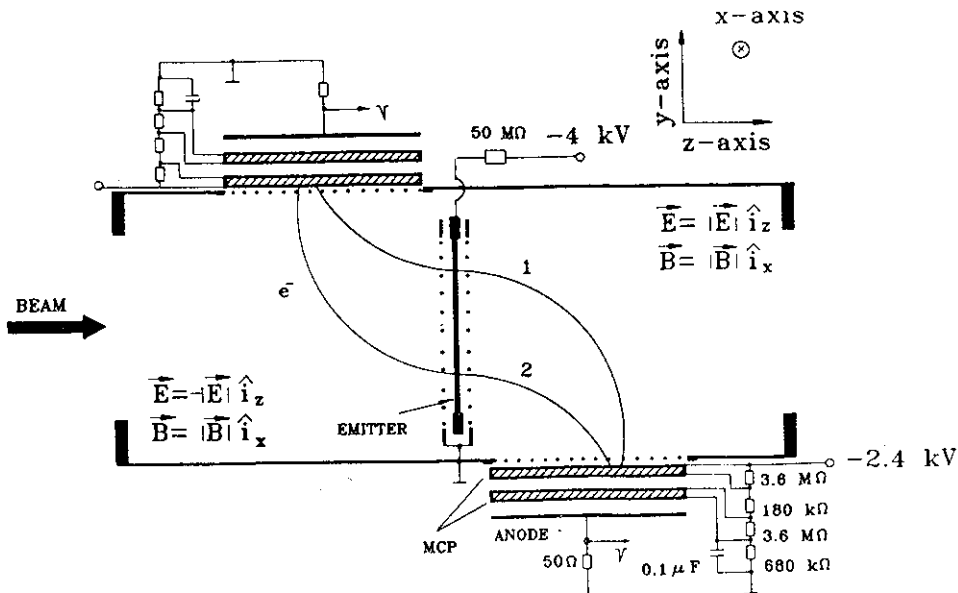


Рис.2. Схема времяпролетного детектора на основе микроканальных пластин.

составляет 25÷35 кэВ. В качестве времяпролетных детекторов применяется система из двух широкоапертурных ( диаметр 90 мм ) детекторов на основе прямоугольных микроканальных пластин ( micro-channel plates ) размером 70\*90 мм, рис.2. В качестве эмиттеров используются тонкие ( 20÷30 мкг/см<sup>2</sup> ) коллоидевые или майларовые пленки с напыленным слоем Au ( ≈ 10 мкг/см<sup>2</sup> ). Тяжелый ион или ядро отдачи, проходящие через эмиттер, выбивают электроны, которые после ускорения в промежутке эмиттер-сетка до энергии 4 кэВ собираются магнитным полем ( ≈ 40 Гс ) на поверхность первой микроканальной пластины. Для увеличения эффективности регистрации сбора электронов осуществляется с обеих сторон эмиттера. Разрешающее время времяпролетной системы для ядер отдачи ≈ 2.5 нс. Пролетная база составляет 50 см. Эффективность регистрации продуктов реакции и рассеянных ионов пучка системой времяпролетных детекторов ≥ 99.9%. Установка времяпролетных детекторов дает возможность разделить ядра отдачи - продукты реакций полного слияния и фон, связанный с низкоэнергетической ( < 10 МэВ ), компонентой пучка бомбардирующих ионов и другими фоновыми продуктами. Кроме того, наличие сигнала от любого из детекторов вторичных электронов служит запретом для регистрации в α-трактах, позволяя, таким образом, значительно улучшить фоновые условия при измерении α-спектров "в пучке". На рис.3 приведены типичные спектры "Время пролета - энергия" для реакций  $\text{ест. w} + ^{22}\text{Ne}$  (рис.3а) и  $\text{ест. Dy} + ^{40}\text{Ar}$  (рис.3б).

Подробное техническое описание и принцип работы блоков, работающих в электронной системе отбора событий и регистрации экспериментальной информации сепаратора ВАСИЛСА, изложены в работе /4/. В настоящей работе приводится описание общего принципа организации измерений и обработки и некоторые результаты первых экспериментов.

## 2. СПЕКТРОМЕТРИЧЕСКИЕ ТРАКТЫ

Электронные блоки, дающие спектрометрическую информацию, размещены в крейте, расположенном в непосредственной близости от приемного устройства, на расстоянии около 100 метров от работающей в режиме on-line ЭВМ IBM PC/AT. Крейт обслуживается контроллером KK001<sup>/5/</sup> в сочетании с блоками, аппаратно обеспечивающими необходимую логику отбора событий по заданным критериям совпадений и антисовпадений.

Для регистрации энергии продуктов реакций, а также их  $\alpha$ -распада и/или спонтанного деления используются восемь одинаковых спектрометрических трактов - по одному на каждый детектор. Блок-схема одного тракта приведена на рис. 4. Каждый тракт состоит из зарядочувствительного предусилителя ПУ ( $\tau_{\text{ФР}} = 10 \pm 40$  нс, в зависимости от емкости детектора), настроенного таким образом, что он может работать с детектором большой (до 1000 пФ) емкости и спектрометрического усилителя СУ-4К/6/. Усилитель переделан таким образом, что имеет два спектрометрических выхода с соотношением коэффициентов усиления на выходах 1:10. Это позволяет расширить диапазон измеряемых энергий до 150 МэВ, не вводя дополнительный тракт при одновременном измерении сигналов от  $\alpha$ -распадов и спонтанного деления, отличающихся по амплитуде в 5-10 раз. Усилитель имеет разделенные формировки интегрирования и дифференцирования сигналов. Для получения наилучшего энергетического разрешения мы использовали  $\tau_{\text{Инт}} = \tau_{\text{Диф}} = (1+1.5)$  мкс. Сигналы B1+B8 с быстрых выходов усилителей, используемые в схеме запуска и быстрого отбора, имеют отрицательную полярность и длительность 0.3 мкс.

Поскольку осколки деления в "электронном смысле" отличаются от  $\alpha$ -частиц только амплитудой импульсов, то логика регистрации этих частиц одинакова, с той лишь разницей, что для  $\alpha$ -частиц используются выходы 1:1, а для осколков деления выходы 1:10 усилителей СУ-4К и соответственно первый и второй мультиплексоры АМ-24К. Выход первого мультиплексора подсоединен ко входам трех амплитудно-цифровых преобразователей АЦП $\alpha_m$ , АЦП $\alpha_d$  и АЦП $\gamma$ , выход второго мультиплексора - ко входу АЦП $\gamma$ . Два АЦП - АЦП $\alpha_m$  и АЦП $\alpha_d$  используются для регистрации последовательных быстрых  $\alpha$ -распадов. Принцип регистрации всех типов частиц описывается ниже.

Диапазоны АЦП $\alpha$  и АЦП $\gamma$  перекрываются в области энергий от 15 МэВ до 20 МэВ таким образом, что при регистрации любого распада с энергией меньше 15 МэВ он записывается только в  $\alpha$ -тракт; с энергией распада от 15 до 20 МэВ - и в  $\alpha$ -тракт и в тракт осколков, а при энергии распада больше 20 МэВ происходит его регистрация в тракте осколков и насыщение  $\alpha$ -тракта. Следует особо отметить, что каждый тип частиц (например,  $\alpha$ -частица, ядро отдачи или осколок деления) имеет свой строго определенный АЦП, и включение

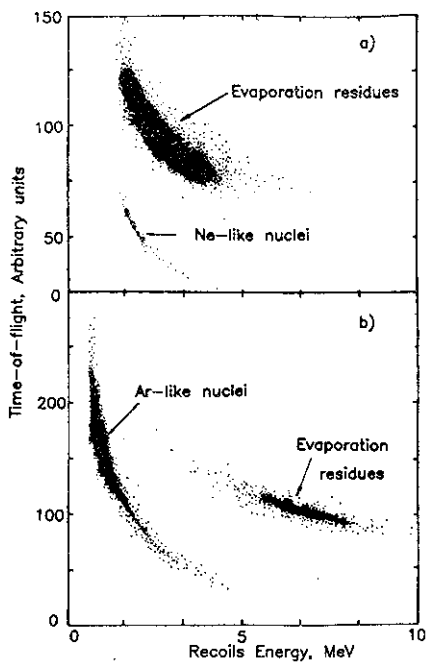


Рис.3. Спектры "Время пролета - Энергия" для реакций  $^{20}\text{Ne} + \text{eфт.в}$  (а) и  $^{40}\text{Ar} + \text{eфт.Дy}$  (б).

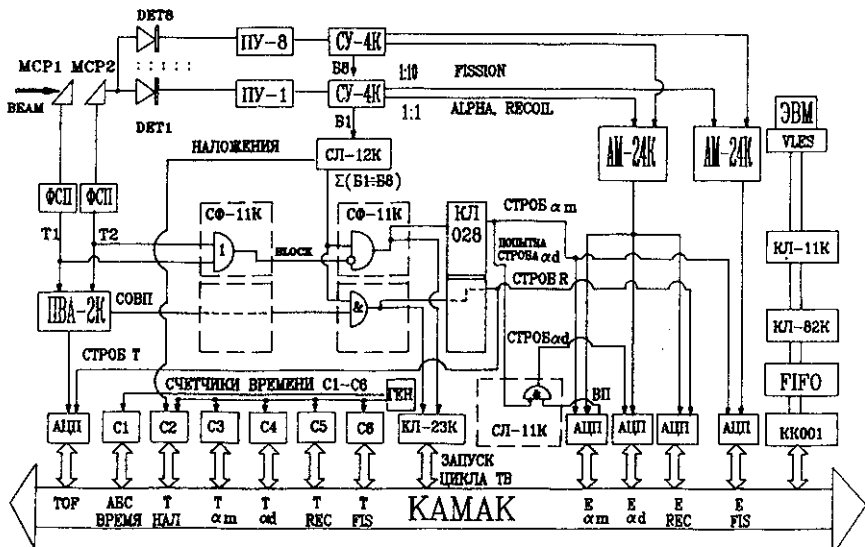


Рис.4. Блок-схема электронного оборудования системы набора информации ( обозначения в тексте ).

конкретного АЦП определяется логикой быстрого отбора.

Для каждого события записываются энергия, код детектора и время прихода события.

В качестве АЦП используются блоки ПА-24К<sup>77</sup>. При этом под код энергии частицы занимаются 12 младших разрядов, а три старших разряда добавляются для записи кода детектора, в котором зарегистрирована частица. Код детектора определяется по номеру входа сработавшего мультиплексора следующим образом : по переднему фронту сигнала "время преобразования" ВП от АЦП в соответствующий регистр мультиплексора заносится код номера канала, который выдается на магистраль по сигналу "МИГ" от данного АЦП при чтении последнего и в виде 3-х старших разрядов добавляется к 12-разрядному коду амплитуды.

#### Логика запусков и система быстрого отбора

Схема запуска электроники представлена на рис. 4 и 5. Все АЦП нормально закрыты по резервной шине Р2 блоком КЛ-23К - блоком запуска цикла измерения. Кроме этого, все АЦП блокированы по разъемам "Блок" на лицевых панелях АЦП.

Блок СЛ-12К - является сумматором импульсов Б1+Б8 с быстрых выходов СУ-4К и одновременно индикатором наложений. Ядро отдачи идентифицируется по наличию сигнала совпадения "Совп" с "Время-амплитуда" конвертора ПВА-2К и быстрого сигнала с блока суммирования быстрых сигналов Б1+Б8 СЛ-12К. α-распады и осколки деления регистрируются при условии антисовпадения быстрого сигнала с полупроводниковых детекторов и сигнала с любого из времязпролетных детекторов. Наличие сигнала хотя бы с одного времязпролетного детектора запрещает регистрацию импульсов в α-тракте и f-тракте и позволяет отличить импульсы от имплантированных ядер отдачи и импульсы от их последующих распадов. Организация совпадений осуществляется с помощью специально разработанной системы блоков.

Блок КЛ-23К - блок организации запусков. После прихода любого импульса в полупроводниковый детектор схема быстрого отбора в зависимости от типа частицы генерирует сигнал "Пуск1" или "Пуск2". По этому сигналу КЛ-23К генерирует сигнал ТВ - импульс запуска цикла измерения электроники - цикла ТВ. Его длительность Т - переменная, изменяется гелиодом и обычно равна 200 мкс . При

этом по шине Р2 магистрали КАМАК происходит открывание всех АЦП. Однако, чтобы какой-либо АЦП зарегистрировал импульс, необходимо также наличие дополнительного строба для АЦП, соответствующего типу регистрируемой частицы. Этот строб открывает соответствующий АЦП только на 3 мкс, что дает дополнительную защиту от возможных наводок и помех.

### ОРГАНИЗАЦИЯ АМПЛИТУДНЫХ ИЗМЕРЕНИЙ

Поскольку в изучаемой области многие нуклиды имеют периоды полураспада порядка 1+200 мкс, была разработана специальная схема для измерения таких распадов.

Если после запуска блоком КЛ-23К цикла измерения ТВ до конца цикла больше не приходит ни одного импульса, то контроллер ККО01 производит считывание и передачу информации со всего крейта в ЭВМ. В этом случае следующий приходящий импульс начинает новый цикл измерения. Мертвое время в этом случае определяется только временем, необходимым для передачи информации крейт-контроллером ККО01 через память типа FIFO в ЭВМ и составляет  $\approx$ 50 мкс.

Более сложным является случай, когда за время цикла ТВ приходит еще какой либо импульс. В этом случае дальнейшая работа зависит от типа частиц. Возможны следующие варианты работы:

1) Если первая и вторая частицы имеют разные типы, например ядро отдачи -  $\alpha$ , ядро отдачи - осколок деления,  $\alpha$  - осколок деления и т.д., то каждый импульс регистрируется АЦП, соответствующим типу частицы: Ядро отдачи - АЦП<sub>г</sub>;  $\alpha$ -частица - АЦП <sub>$\alpha$</sub> ; осколок деления - АЦП<sub>ф</sub>. После окончания цикла ТВ контроллер ККО01 передает информацию в ЭВМ. В этом случае и в описанных ниже времена цикла ТВ может увеличиваться, если вторая и последующие частицы приходят в конце цикла. Тогда время Т автоматически продлевается на время регистрации этих импульсов соответствующими АЦП. Мертвое время в этом случае составляет -  $(50+T_{\text{продления}})$  мкс.

2) Если оба пришедших за время цикла ТВ импульса принадлежат ядрам отдачи, то первый импульс будет зарегистрирован АЦП<sub>г</sub> и, поскольку не предусмотрено альтернативного АЦП для регистрации ядер отдачи, второй импульс будет потерян. Такой же принцип работы и при регистрации двух последовательных актов спонтанного деления в течение цикла. Однако следует отметить, что так как вероятность

таких событий в интервале 200 мкс мала, это практически не приводит к возникновению дополнительного мертвого времени и потери физической информации. Мертвое время в обоих случаях - 200+50 мкс.

3) Для регистрации двух последовательных быстрых  $\alpha$ -распадов со временем распада, меньшим длительности цикла ТВ, применяется система из двух альтернативных АЦП - АЦП $\alpha_m$  и АЦП $\alpha_d$ . При этом первая приходящая  $\alpha$ -частица регистрируется АЦП $\alpha_m$ , и импульс "Время преобразования" (ВП) этого АЦП поступает в блок СЛ-11К - блок обработки сигналов ВП (см.рис.4 и 5). Если после этого приходит вторая  $\alpha$ -частица (причем не важно, в какой детектор), то АЦП $\alpha_m$  будет уже закрыт, и блок СЛ-11К при наличии импульса ВП от АЦП $\alpha_m$  выдаст строб разрешения на АЦП $\alpha_d$ , который и зарегистрирует вторую  $\alpha$ -частицу. Мертвое время для регистрации последовательных быстрых пар  $\alpha_m$ - $\alpha_d$  составляет (200+50+ $t_{\text{продления}}$ )мкс, а для регистрации  $\alpha_d$  внутри пары -  $t_{M\alpha_d} = 2$  мкс. Таким образом, первый  $\alpha$ -распад внутри цикла ТВ на "аппаратном" уровне условно считается распадом материнского ядра, а второй - дочернего. В дальнейшем, такие пары  $\alpha$ -распадов будут называться быстрыми корреляциями (при условии, что они произошли в одном детекторе). Метод измерения  $t_{M\alpha_d}$  описывается ниже. Считывание контроллером КК001 информации с крейта происходит только после конца цикла ТВ.

За время одного цикла может быть зарегистрировано не более четырех частиц. В этом случае схема работает аналогично, однако следует помнить, что за время одного цикла могут быть зарегистрированы только одно ядро отдачи, один осколок деления и две  $\alpha$ -частицы, причем независимо от того, в каком порядке и в каких детекторах эти частицы зарегистрированы.

#### ИЗМЕРЕНИЕ ВРЕМЕННЫХ ИНТЕРВАЛОВ И ИНДИКАЦИЯ НАЛОЖЕНИЙ

Принцип измерения времени распада аналогичен принципу, примененному в работе <sup>12</sup>. При измерении характеристик последовательных распадов нуклидов с временем распада, сравнимым с длительностью спектрометрических импульсов усилителей СУ-4К (1+5 мкс), возможен эффект частичного наложения импульсов и, следовательно, искажения амплитуд импульсов. Для регистрации таких событий в блоке СЛ-12К установлен индикатор наложений, который

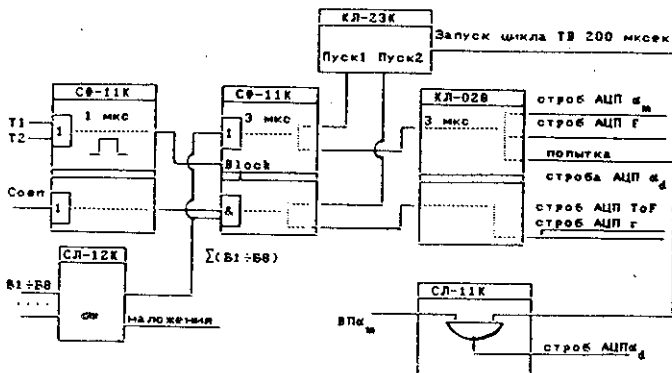


Рис.5 Схема запуска цикла измерения.

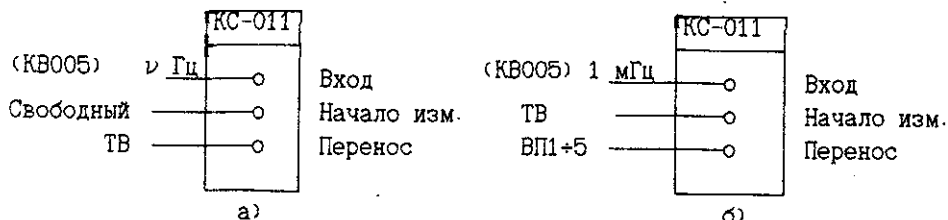


Рис.6. Схема измерения времени.

а) Измерение абсолютного времени (счетчик С1);

б) Измерение времени внутри цикла ТВ (счетчики С3-С6)

Обозначения : КВ005 - кварцевый генератор,  $\nu$  - частота генератора. ТВ - импульс начала цикла измерения,

ВП - импульс "Время преобразования" сработавшего АЦП.

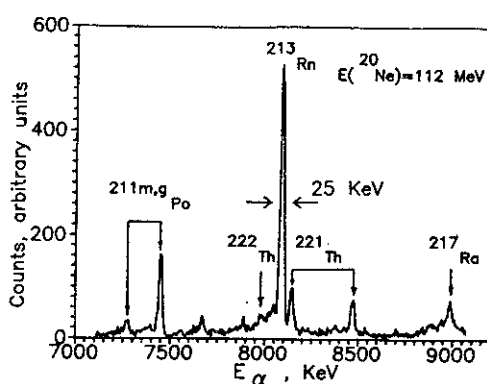


Рис.7. Суммарный  $\alpha$ -спектр продуктов реакции  $^{20}\text{Ne} + ^{208}\text{Pb}$ .

выдает на магистраль КАМАК код, соответствующий номеру детектора, в котором произошло наложение. Кроме этого, импульс, соответствующий интервалу времени между этими импульсами от детекторов (измеряемому по разности времен соответствующих импульсов с выходов  $B1+B8$ ), идет в счетчик времени  $C2$  для измерения времени наложения.

Для измерения временных интервалов в системе установлен кварцевый генератор КВ-005 и шесть шестнадцатиразрядных счетчиков КС-011. Все счетчики, кроме счетчика  $C1$  - счетчика абсолютного времени, запускаются импульсом начала цикла измерения - ТВ. На счетные входы всех счетчиков подаются импульсы с выходов генератора КВ-005. Для измерения абсолютного времени используется счетчик  $C1$  (см. рис.6а), на счетный вход которого идут импульсы, частоту и которых можно менять, меняя таким образом длительность измеряемого интервала и соответственно минимальную цену канала. Обычно устанавливается частота  $\nu=10^4$ . На вход "Перенос" этого счетчика подаются импульсы начала цикла ТВ. Итак, если в течение цикла ТВ зарегистрирована только одна частица, то ей приписывается только абсолютное время с минимальной ценой канала  $1/\nu$ . При заполнении счетчика происходит его обнуление и цикл счетчика начинается снова. Абсолютное время в дальнейшем восстанавливается программным образом по числу таких циклов.

Для измерения времени внутри цикла - т.е. если в течение цикла длительностью Т зарегистрировано более одной частицы, служат счетчики С3+С6. На их счетные входы поступают импульсы с постоянной частотой 1 мГц (см. рис.6б). На вход "Начало измерения" идут импульсы ТВ. На вход "Перенос" идут импульсы "Время преобразования" с соответствующими АШП, и, таким образом, каждое такое событие имеет два времени - абсолютное (с минимальной ценой канала  $1/\nu$ ) - время начала цикла и время внутри цикла (с ценой канала 1 мкс).

Для регистрации времени наложения импульсов имеется счетчик С2. Он работает так же, как и счетчики С3+С6, но в качестве сигнала "Перенос" служит сигнал с индикатора наложений СЛ-12К.

#### Передача информации в ЭВМ

Таким образом, каждое событие представляется в виде последовательности  $(N+1)$  16-разрядных слов /  $N$  - число измеряемых параметров, обычно  $N=11$  /, причем каждое слово этой

последовательности соответствует определенному параметру, а последнее слово, формируемое блоком КЛ-23К, содержит ряд признаков. Возможно установить до 4 признаков - например, событие "в пучке" или "вне пучка", есть импульс блокировки или нет. Предусмотрена возможность работы в режиме блокировки ВЧ-модулятора циклотрона У-400 от ЭВМ, а также блокировки регистрирующей аппаратуры от ВЧ-модулятора.

Крейт-контроллер КК001 передает последовательность 18-разрядных слов в блок памяти FIFO КП-16К с независимыми записью и чтением данных, который служит для уменьшения мертвого времени передачи данных в ЭВМ путем выравнивания потока информации. Из FIFO информация через усилитель мощности КЛ-82К передается в ЭВМ через специально разработанный интерфейс "ВЛЕС-ВЫЛЕС". Метод передачи информации в ЭВМ полностью аналогичен методу, описанному в <sup>12</sup> и более подробно в <sup>14</sup>.

### ПРОГРАМНОЕ ОБЕСПЕЧЕНИЕ

Программы набора и предварительной обработки данных написаны на языке Турбо-Паскаль версия 5.0 и аналогичны описанным в <sup>12</sup>. Программы позволяют формировать в оперативной памяти ЭВМ во время набора 18 одномерных энергетических спектров по 4096 каналов каждый, один двумерный 256\*256 спектр "время пролета-энергия" и один двумерный 256\*256 спектр  $\alpha$ - $\alpha$  корреляций на диске ЭВМ. Любой из спектров по желанию оператора может инициироваться на дисплее. Существует стандартный набор команд для пользователя, позволяющий контролировать ход эксперимента. Все спектры могут быть записаны в файлы. Во время набора информации возможно установить различные критерии отбора событий, например: по энергии или/и по времени пролета для ядер отдачи; по энергии для  $\alpha$ -частиц.

Файлы, содержащие спектры, и файлы событий используются для дальнейшей off-line обработки.

### РЕЗУЛЬТАТЫ ЭКСПЕРИМЕНТОВ

При обработке полученных данных возникает задача суммирования  $\alpha$ -спектров с различных детекторов, что невозможно выполнить без хорошей калибровки детекторов и спектрометрических трактов.

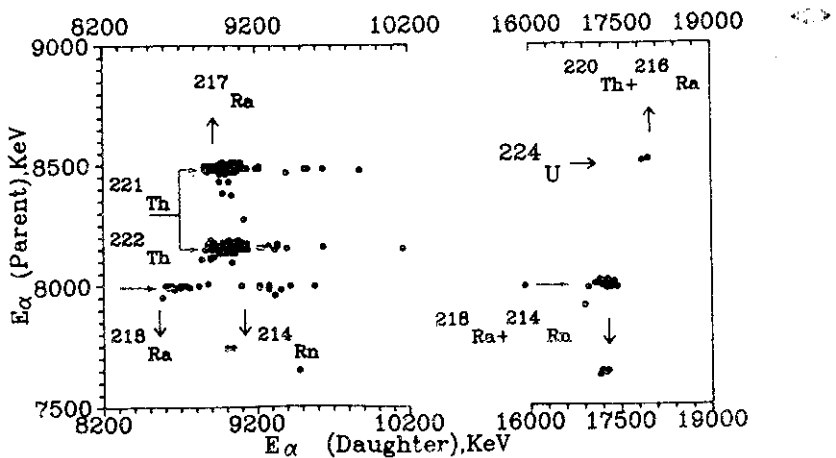


Рис. 8. Спектр  $\alpha_m - \alpha_d$  корреляций для временного окна 0-200 мкс.

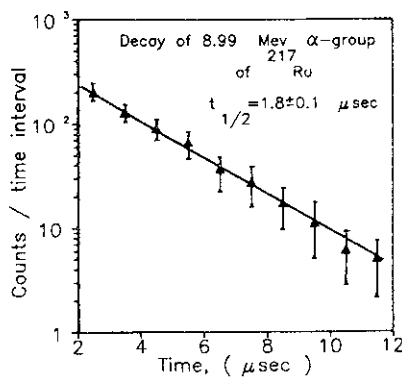


Рис. 9. Временное распределение для  $\alpha$ -распадов  $^{217}\text{Ra}$ .

Калибровка внешним  $\alpha$ -источником может приводить к ошибке, связанной с наличием мертвого слоя на поверхности детектора. Поэтому в экспериментах для калибровки мы используем  $\alpha$ -распады ядер, имплантированных в детектор. Это позволяет также избежать ошибки калибровки, связанной с энергией отдачи имплантированного иона при испускании им  $\alpha$ -частицы. Эта методика позволяет проводить калибровки в широком (от 4.5 МэВ до 9 МэВ) диапазоне энергий  $\alpha$ -распада, что является затруднительным в случае использования внешнего источника. На рис. 7 приведен типичный суммарный  $\alpha$ -спектр продуктов реакции  $^{208}\text{Pb} + ^{20}\text{Ne}$ . Как видно из рисунка, при хорошо сделанной калибровке, разрешение  $\approx 25 \pm 30$  кэВ, получаемое для непросуммированных спектров, сохраняется и в суммарных. Калибровка спектров  $\alpha_m$  проводится непосредственно по одномерным спектрам и ошибка калибровки в области 6-9 МэВ не превышает 15 кэВ, а в области 17-18 МэВ, соответствующей пикам полного суммирования, - не более 40-50 кэВ. Калибровка спектров  $\alpha_d$  проводится по  $\alpha-\alpha$  спектрам быстрых корреляций (0-200 мкс). Ввиду того, что  $\alpha_m$  и  $\alpha_d$ -тракты отличаются только АЦП, первоначально предполагаются одинаковые калибровки для  $\alpha_m$  и  $\alpha_d$ -трактов. Для  $\alpha_m$ -линий, имеющей удобную цепочку быстрых  $\alpha$ -распадов (например,  $^{222}\text{Th}$  или  $^{221}\text{Th}$  в случае реакции  $^{208}\text{Pb} + ^{20}\text{Ne}$ ), строится  $\alpha-\alpha$  спектр быстрых корреляций. Из этого спектра получаются одномерные  $\alpha_d$ -спектры для каждого детектора, по которым и производится калибровка  $\alpha_d$ -трактов. Однако, так как большинство  $\alpha$ -линий в спектрах  $\alpha_d$  "размазаны" по энергии из-за обратного вылета последующих быстрых ( $T_{1/2} \approx 1-3$  мкс)  $\alpha$ -частиц, или же происходит частичное или полное суммирование для  $\alpha$ -частиц с  $T_{1/2} \leq 1$  мкс, ошибка калибровки для  $\alpha_d$ -трактов составляет 50-70 кэВ. На рис. 8 представлен  $\alpha_m-\alpha_d$  спектр быстрых корреляций во временном окне 0-200 мкс для реакции  $^{208}\text{Pb} + ^{20}\text{Ne}$ .

Мертвое время для быстрых  $\alpha_d$ -частиц определялось из сравнения счета для  $\alpha$ -линий  $^{221}\text{Th}$  ( $E_{\alpha_1} = 8.15$  МэВ,  $E_{\alpha_2} = 8.47$  МэВ) в одномерном спектре и счета для этих линий в спектрах быстрых корреляций (см. рис. 7-8). Оно оказалось равным  $T_m \approx 2$  мкс. На рис. 9 приведено временное распределение для  $\alpha$ -частиц  $^{217}\text{Ra}$  ( $E_\alpha = 8.99$  МэВ), измеренное в наших экспериментах. Полученная величина  $T_{1/2} = 1.8 \pm 0.1$  мксек находится в хорошем согласии с табличной ( $T_{1/2} = 1.6 \pm 0.2$  мкс),<sup>18</sup>. Это доказывает способность детектирующей аппаратуры измерять

времена жизни и энергии  $\alpha$ -распада с хорошей точностью в широком диапазоне величин, что является существенным в экспериментах по изучению свойств тяжелых элементов.

#### Литература

1. A. V. Yeremin et al., Nucl. Instr. and Meth., A274, (1989), p. 528
2. А. Н. Андреев и др., Препринт ОИЯИ Р13-87-914, (1987)
3. S. Hoffman et al., Z. Phys. A, 291, 1979, p. 53
4. А. Н. Кузнецов, Сообщение ОИЯИ, 13-90-206, Дубна, 1990
5. Н. И. Журавлев и др., Сообщение ОИЯИ, 10-7332, Дубна, 1973
6. А. Н. Кузнецов, В. Г. Субботин, Сообщение ОИЯИ, 13-12953, Дубна, 1979
7. А. Н. Кузнецов, В. Г. Субботин, Сообщение ОИЯИ, 13-83-67, Дубна, 1983
8. W. Westmeier and A. Merklin, Catalog of Alpha Particles from Radioactive Decay, Karlsruhe (1985), Nr. 29-1.

Рукопись поступила в издательский отдел  
18 января 1991 года.